

Вступ

Сьогодні метод скінченних елементів (finite element method) є одним з найпоширеніших методів числового розв'язування задач математичної фізики та механіки суцільного середовища. Він ґрунтується на варіаційному формулюванні крайової задачі та дискретизації Рітца-Гальоркіна з використанням поліноміальних базисних функцій, а саме – функцій Куранта, що зрештою приводить до системи лінійних алгебричних рівнянь з тридіагональною матрицею, до якої можна легко застосувати метод прогонки та відшукати значення розв'язку у вузлах вибраної сітки, які можуть бути розподілені як рівномірно, так і – у деяких випадках для поліпшення точності – нерівномірно.

Постановка задачі

З використанням методу скінченних елементів знайти кусково-лінійне наближення до розв'язку стаціонарної крайової задачі конвекції-дифузії-реакції:

Задано коефіцієнт дифузії  $\mu = \mu(x)$ ,  
 "вектор" конвективного перенесення  $\beta = \beta(x)$ ,  
 коефіцієнт біохімічного розпаду  $\sigma = \sigma(x)$ ,  
 інтенсивність джерел домішки  $f = f(x)$  та  
 константи  $u_0, u_1 \in \mathbb{R}$ .

Знайти густину домішки  $u = u(x)$  таку, що

$$-\frac{d}{dx} \left( \mu \frac{du}{dx} \right) + \beta \frac{du}{dx} + \sigma u = f \quad \text{на } \Omega = (0,1),$$

$$u(0) = u_0,$$

$$\frac{du}{dx}(1) = u_1.$$

Для зручності введемо заміну:

$$u = u_0 + \tilde{u}$$

Тоді отримаємо

$$\begin{cases} -(\mu \tilde{u}')' + \beta \tilde{u}' + \sigma \tilde{u} = f_1, \\ \tilde{u}(0) = 0 \\ \tilde{u}'(1) = u_1 \end{cases}$$

$$f_1 = f - u_0 \sigma$$

↓  
метод  
Гальоркіна

① крайова задача

② варіант Рітца

## Варіаційне формулювання задачі

*22-проект*

$$\left\{ \begin{array}{l} \text{знайти } u \in V = \{v \in H^1(0,1) | v(0) = 0\} \text{ таку, що} \\ a(u, v) = \langle l, v \rangle, v \in V \\ a(u, v) = \int_0^1 [\mu u' v' + \beta u' v + \sigma u v] dx \quad / \cdot v \\ \langle l, v \rangle = \int_0^1 f_1 v dx + u_1 \mu(1) v(1) \end{array} \right.$$

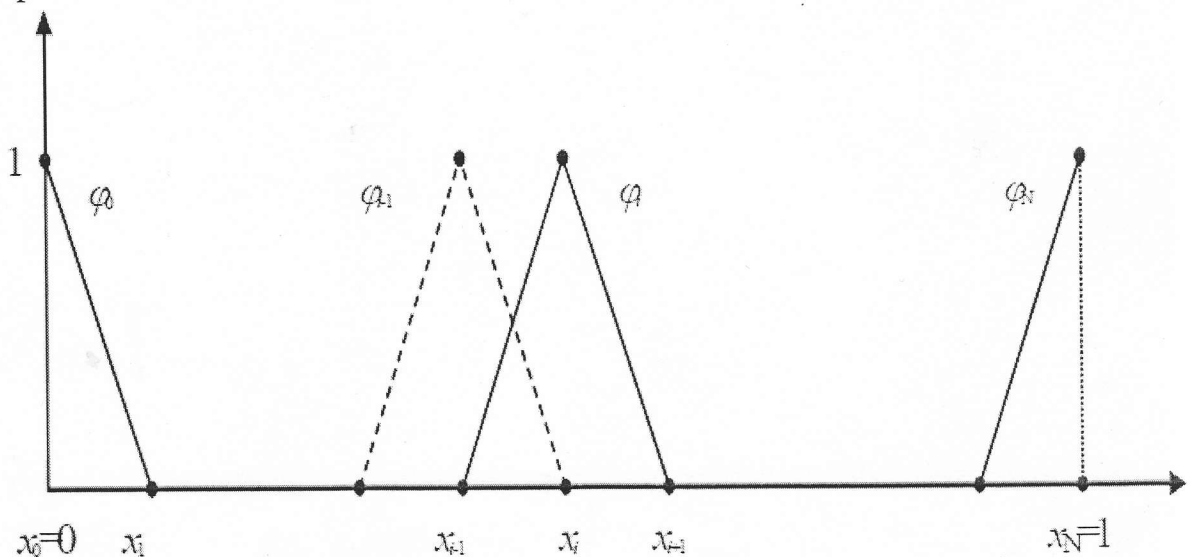
## Алгоритм розв'язування

1. Переформулювання крайової задачі у варіаційну.
2. Використання методу Гальоркіна.
3. За базисні функції вибираємо функції Куранта на відрізку  $[0,1]$   
 $\{\varphi_i\}, i = 0 \dots N;$

$$\varphi_i(x) = \left\{ \begin{array}{l} 0, \quad 0 \leq x < x_{i-1} \\ \frac{x - x_{i-1}}{h_i}, \quad x_{i-1} < x \leq x_i \\ \frac{x_{i+1} - x}{h_i}, \quad x_i < x \leq x_{i+1} \\ 0, \quad x_{i+1} < x \leq 1 \end{array} \right\} \begin{array}{l} i = N \\ i = 1, N-1 \\ i = 0 \end{array}$$

Де  $h_i$  – відповідний крок, тобто відстань між  $x_i$  і  $x_{i+1}$ .

Графік:



Примітка: у базис не включаємо функцію  $\varphi_0$ , оскільки з умови, накладеної на простір  $V, v(0) = 0$ , а  $\varphi_0(0) = 1$ .

4. Наступний крок – обчислення інтегралів та формування матриці, з якої зможемо знайти коефіцієнти  $q_i$ .

Введемо позначення:  $Aq = L$ :

$$A = \begin{pmatrix} a(\varphi_1, \varphi_1) & a(\varphi_1, \varphi_2) & 0 & 0 & 0 & 0 \\ a(\varphi_2, \varphi_1) & a(\varphi_2, \varphi_2) & a(\varphi_2, \varphi_3) & 0 & 0 & 0 \\ 0 & a(\varphi_3, \varphi_2) & a(\varphi_3, \varphi_3) & a(\varphi_3, \varphi_4) & 0 & 0 \\ 0 & 0 & \dots & \dots & \dots & 0 \\ 0 & 0 & 0 & a(\varphi_{N-1}, \varphi_{N-2}) & a(\varphi_{N-1}, \varphi_{N-1}) & a(\varphi_{N-1}, \varphi_N) \\ 0 & 0 & 0 & 0 & a(\varphi_N, \varphi_{N-1}) & a(\varphi_N, \varphi_N) \end{pmatrix}$$

$$q = \begin{pmatrix} q_1 \\ q_2 \\ \dots \\ q_{N-1} \\ q_N \end{pmatrix}$$

$$L = \begin{pmatrix} \langle l, \varphi_1 \rangle \\ \langle l, \varphi_2 \rangle \\ \dots \\ \langle l, \varphi_{N-1} \rangle \\ \langle l, \varphi_N \rangle \end{pmatrix}$$

де

$$a(\varphi_i, \varphi_i) = \int_{x_{i-1}}^{x_{i+1}} [\mu \varphi_i' \varphi_i' + \beta \varphi_i' \varphi_i + \sigma \varphi_i \varphi_i] dx$$

$$a(\varphi_N, \varphi_N) = \int_{x_{N-1}}^{x_N} [\mu \varphi_N' \varphi_N' + \beta \varphi_N' \varphi_N + \sigma \varphi_N \varphi_N] dx$$

$$a(\varphi_{i-1}, \varphi_i) = \int_{x_{i-1}}^{x_i} [\mu \varphi_{i-1}' \varphi_i' + \beta \varphi_{i-1}' \varphi_i + \sigma \varphi_{i-1} \varphi_i] dx$$

$$a(\varphi_i, \varphi_{i+1}) = \int_{x_i}^{x_{i+1}} [\mu \varphi_i' \varphi_{i+1}' + \beta \varphi_i' \varphi_{i+1} + \sigma \varphi_i \varphi_{i+1}] dx$$

$$\langle l, \varphi_i \rangle = \int_0^1 f_1 \varphi_i dx + u_1 \mu(1) \varphi_i(1)$$

До цієї матриці завдяки її тридіагональності можна застосувати метод прогонки, суть якого полягає в такому:

Система має такий вигляд:

$$a_i x_{i-1} + b_i x_i + c_i x_{i+1} = d_i,$$

де  $a_1 = 0$  та  $c_n = 0$ . В матричній формі це записується так:

$$\begin{bmatrix} b_1 & c_1 & & & 0 \\ a_2 & b_2 & c_2 & & \\ & a_3 & b_3 & c_3 & \\ & & \ddots & \ddots & c_{n-1} \\ 0 & & & a_n & b_n \end{bmatrix} \begin{bmatrix} x_1 \\ x_2 \\ x_3 \\ \vdots \\ x_n \end{bmatrix} = \begin{bmatrix} d_1 \\ d_2 \\ d_3 \\ \vdots \\ d_n \end{bmatrix}.$$

Розв'язок проводиться в два кроки, як і в методі Гауса, прямому, та зворотному. В прямому ході ми обчислюємо:

$$c'_1 = \frac{c_1}{b_1}; c'_i = \frac{c_i}{b_i - c'_{i-1} a_i}, i = \overline{2, n-1}$$

та

$$d'_1 = \frac{d_1}{b_1}; d'_i = \frac{d_i - d'_{i-1} a_i}{b_i - c'_{i-1} a_i}, i = \overline{2, n}$$

Тепер розв'язок знаходимо зворотнім ходом:

$$x_n = d'_n$$

$$x_i = d'_i - c'_i x_{i+1}; i = n-1, n-2, \dots, 1$$

5. Знайшовши коефіцієнти, можна з легкістю знайти наше шукане наближення  $u_h$  за формулою

$$u_h(x) = u_0 + \sum_{i=1}^N q_i \varphi_i$$

### Аналіз результатів, таблиці, графіки

Для зручності перевірки програми візьмемо такі дані:

$$\mu = 1$$

$$\beta = 0$$

$$\sigma = 0$$

$$u_0 = 0$$

$$u_1 = \cos(1)$$

$$f = \sin(x)$$

Легко побачити, що за такого «розкладу» шуканою функцією  $u(x)$  буде функція  $\sin(x)$ .

Для демонстрації роботи наведено такі приклади.

*Приклад 1.*

Рівномірні вузли, кількість вузлів – 3,  $h = 0.5$

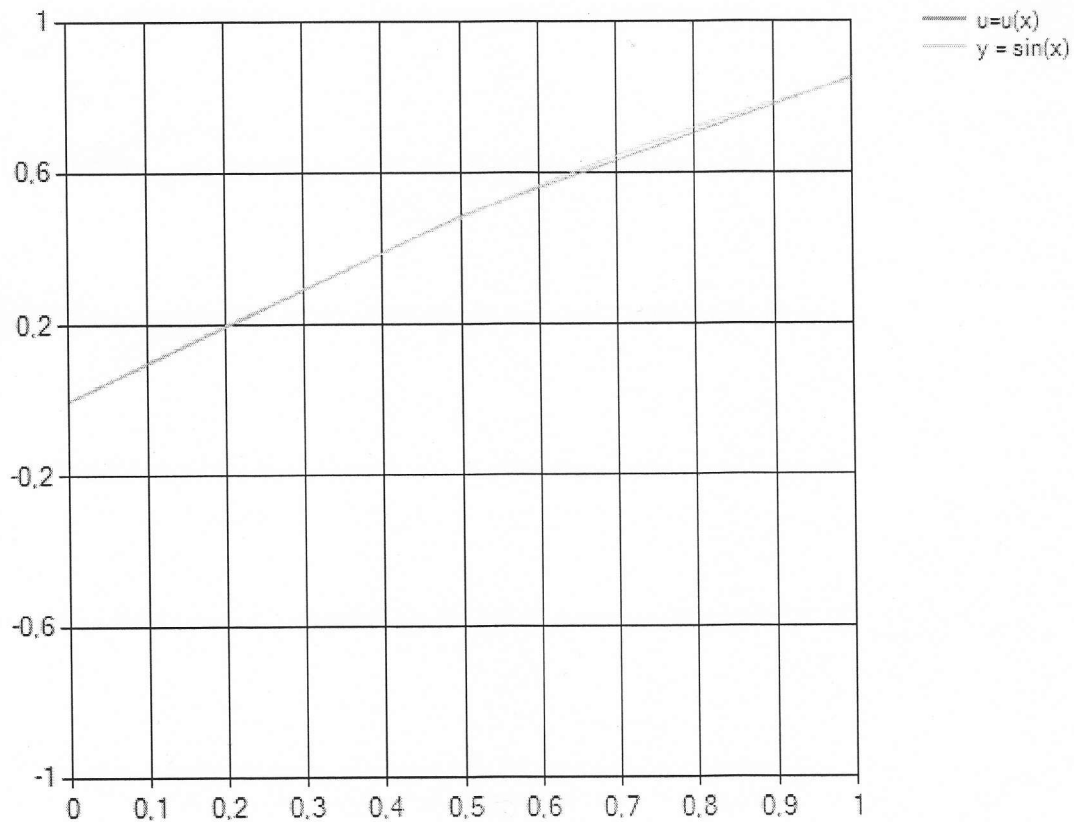
$$x_0 = 0, x_1 = 0.5, x_2 = 1$$

$$A = \begin{pmatrix} 3.9990234375 & -1.9990234375 \\ -1.9990234375 & 1.9990234375 \end{pmatrix}$$

$$L = \begin{pmatrix} 0.24804297216111068 \\ 0.7240918586004953 \end{pmatrix}$$

Звідси

$$q = \begin{pmatrix} 0.486067415380803 \\ 0.84829021128061111 \end{pmatrix}$$

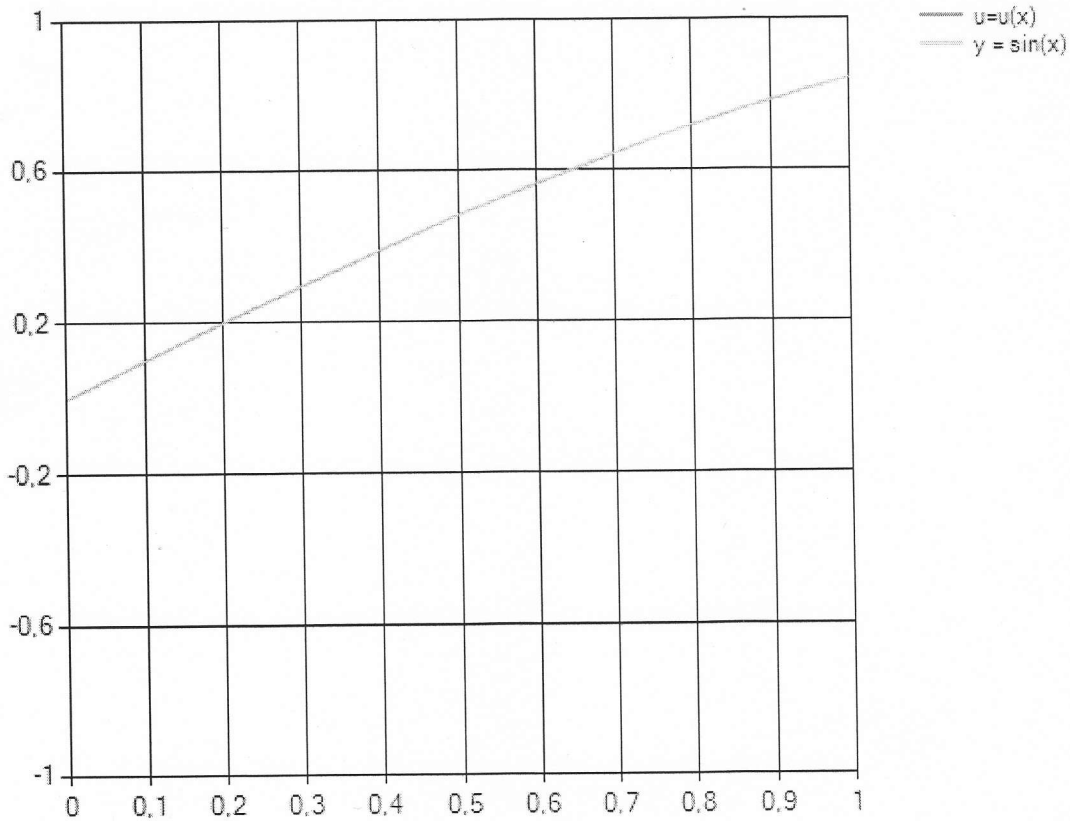


Норма в просторі  $L_2$

$$\|u - u_h\| = 0.00822027274493771$$

Приклад 2.

50 рівномірних вузлів



(через громізdkість матриці не наводимо)

$$\|u - u_h\| = 0.000945964710282589$$

### Приклад 3.

Нерівномірні вузли

$$x_0 = 0, x_1 = 0.05, x_2 = 0.17, x_3 = 0.37, x_4 = 0.64, x_5 = 0.67, x_6 = 0.71, x_7 = 0.76,$$

$$x_8 = 0.95, x_9 = 1$$

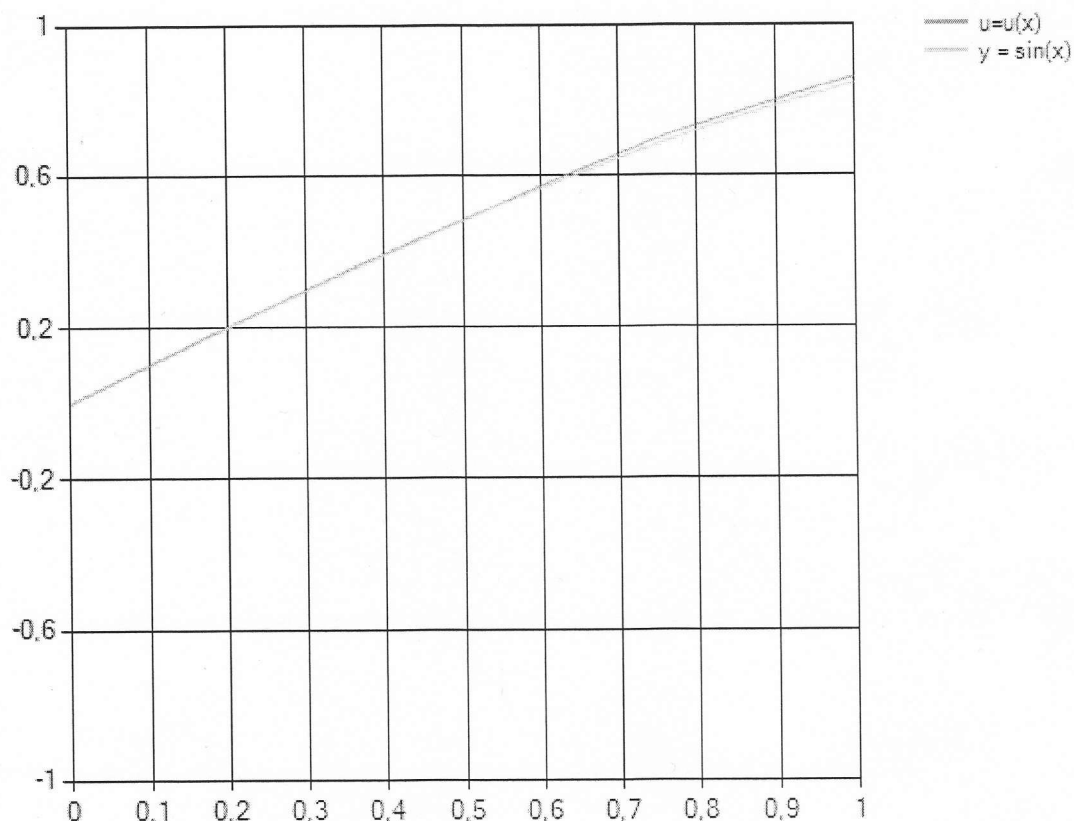
$$h_0 = 0.05, h_1 = 0.12, h_2 = 0.2, h_3 = 0.27, h_4 = 0.03, h_5 = 0.04, h_6 = 0.05, h_7 = 0.19, h_8 = 0.01$$

$A =$

$$\begin{pmatrix} 28.33014848 & -8.3328247 & 0 & 0 & 0 & 0 & 0 & 0 & 0 & 0 \\ -8.3328247 & 13.33235677 & -4.99938964 & 0 & 0 & 0 & 0 & 0 & 0 & 0 \\ 0 & -4.99938964 & 8.7016496 & -3.70279947 & 0 & 0 & 0 & 0 & 0 & 0 \\ 0 & 0 & -3.70279947 & 37.03715477 & -33.3328247 & 0 & 0 & 0 & 0 & 0 \\ 0 & 0 & 0 & -33.3328247 & 58.33255449 & -24.999237 & 0 & 0 & 0 & 0 \\ 0 & 0 & 0 & 0 & -24.99923706 & 44.999691 & -19.99938964 & 0 & 0 & 0 \\ 0 & 0 & 0 & 0 & 0 & -19.99938964 & 25.25548065 & -5.26251541 & 0 & 0 \\ 0 & 0 & 0 & 0 & 0 & 0 & -5.26251541 & 25.2633344 & -19.999389 & 0 \\ 0 & 0 & 0 & 0 & 0 & 0 & 0 & -19.99938964 & 19.9993896 & 0 \end{pmatrix}$$

$$L = \begin{pmatrix} 0.0052118466359436337 & & & & & & & & & \\ 0.038106252442685562 & & & & & & & & & \\ 0.087341016719171827 & & & & & & & & & \\ 0.065659724639538619 & & & & & & & & & \\ & 0 & & & & & & & & \\ & 0 & & & & & & & & \\ & & 0.1583734474369228 & & & & & & & \\ & & 0.098696069864837033 & & & & & & & \\ & & 0.56110970481414812 & & & & & & & \end{pmatrix}$$

$$q = \begin{pmatrix} 0.0508101419094821 \\ 0.17212014756440155 \\ 0.36669855429976933 \\ 0.60577021326079317 \\ 0.63038564509772432 \\ 0.66321914651737479 \\ 0.70429631759372813 \\ 0.82944943509590285 \\ 0.85750577654820226 \end{pmatrix}$$



$$\|u - u_h\| = 0.00926301372716682$$

## Висновки

Отже, завдяки методу скінченних елементів можна порівняно просто відшукати наближення нашої функції. Для цього потрібно використати квадратурні формули для обчислення інтегралів і метод для розв'язування систем лінійних алгебричних рівнянь. У програмі використано квадратурні формули трапеції, а також квадратурні формули Гауса, щоб забезпечити відносну точність правих частин. Щодо методу для обчислення СЛАР, то тут однозначно вибір падає на метод прогонки, що доволі простий у реалізації, а також ідеально підходить для матриці тридіагонального вигляду. Згущуючи сітку вузлів, можна зробити розв'язок точнішим, хоч це і потребуватиме більших часових ресурсів. Динаміку зміни похибки за тієї чи іншої сітки вузлів можна відстежувати завдяки обчисленню норми похибки в просторі  $L_2$ .

Целая  $\in$  риф. р-ция с заданными краевыми  
 условиями  $\Sigma$  р-ру

$$L u = f$$

$$u(0) = u_0$$

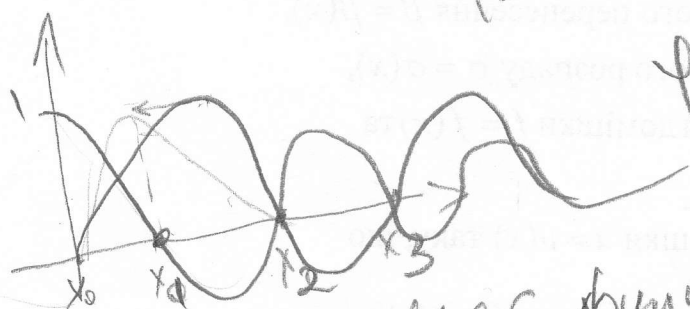
$$u(1) = u_1$$

ст. 12

Обобщенный ряд Фурье =

$$u(x) = \varphi_0(x) + \sum \varphi_n(x) \cdot C$$

$\varphi_0$  - нечет.  $\varphi_n$  - чет.  $\varphi_n$  - нечет.  $\varphi_n$  - чет.



$\varphi_n$  - чет. с  $\Pi$ Ф не  
 вы. не  $(a, b)$   
 чет. не  
 чет. не  
 чет. не

Значит  $\varphi$  ант. МСБ функции  $\varphi_i$  чет.  $\varphi_i$  -  
 парн  $\varphi$  нечет.  $\varphi$  нечет.  $\varphi$  нечет.  
 $\varphi$  чет. = 1  $\varphi$  нечет. = 0  
 $\varphi$  чет. нечет.  $\varphi$  нечет. = 0